

ПРОБЛЕМЫ ГАЗОДИНАМИКИ И ТЕПЛОМАССООБМЕНА В ЭНЕРГЕТИЧЕСКИХ УСТАНОВКАХ

Т Р У Д Ы

*XIV Школы-семинара молодых ученых и специалистов
под руководством академика РАН А.И. Леонтьева*

В двух томах

*26-30 мая 2003 г.
г. Рыбинск, Россия*

Том 1

*Расчетные и экспериментальные
методы исследований турбулентных течений*

*Тепло- и массообмен при течении двухфазных
и многофазных сред*

Методы теплофизического эксперимента



СПЕКТРАЛЬНЫЕ ХАРАКТЕРИСТИКИ ВЕКТОРА ПОВЕРХНОСТНОГО ТРЕНИЯ В ТУРБУЛЕНТНОМ ОТРЫВНОМ ТЕЧЕНИИ ЗА ОБРАТНЫМ УСТУПОМ

АННОТАЦИЯ

Проведены термоанемометрические измерения спектральных характеристик вектора поверхностного трения в турбулентном отрывном течении за обратным уступом. Для рециркуляционной зоны отмечено, что роль высокочастотной области спектра трения возрастает с удалением от уступа вниз по течению. Возможно, это связано с постепенным приближением к поверхности проходящего сверху сильно турбулизированного оторвавшегося сдвигового слоя.

1. ВВЕДЕНИЕ

Турбулентный отрывной поток за обратным уступом представляет значительный практический интерес. Достаточно упомянуть, что такая конфигурация течения встречается в газовых турбинах, электронной аппаратуре, теплоотдающих устройствах и даже в ядерных реакторах. Тем не менее до сих пор имеет место недостаток экспериментальной информации по этому типу течения. Особенно остро эта проблема стоит по отношению к измерениям пристеночных параметров турбулентности: пульсаций давления на стенке и поверхностного трения.

Важную информацию о структуре течения можно получить из спектральных характеристик параметров турбулентности. И если для пульсаций пристеночного давления такие данные имеются (см., напр. [1]), то по поверхностному трению подобных измерений проводилось гораздо меньше.

Известно, что течение в области отрыва и присоединения за обратным уступом является существенно трехмерным, и мгновенная величина модуля вектора поверхностного трения никогда не равна нулю [2].

Целью данной работы является измерение и анализ спектральных характеристик по двум компонентам вектора поверхностного трения в различных областях турбулентного отрывного течения за обратным уступом.

2. ЭКСПЕРИМЕНТАЛЬНАЯ УСТАНОВКА И МЕТОДИКА ИЗМЕРЕНИЙ

Эксперименты проводились в аэродинамической трубе разомкнутого типа. Рабочий участок имел прямоугольное поперечное сечение $0,1 \times 0,13 \text{ м}^2$. В качестве тела обтекания в работе использовался выступ со скругленной передней кромкой, который при принятых форме и геометрических размерах можно условно считать обращенным назад уступом.

Уступ высотой $h=20 \text{ мм}$ устанавливается на стенке рабочего участка и занимал всю ширину канала.

В невозмущенном потоке перед обратным уступом течение было двумерным с развитым турбулентным пограничным слоем. Эксперименты проводились для двух режимов по средней скорости потока: $U_\infty = 10,1 \text{ м/с}$ (режим II) и $17,3 \text{ м/с}$ (режим I), а уровень пульсаций скорости составлял около 1%. Число Рейнольдса, вычисленное по высоте уступа и средней скорости у кромки уступа, составляло $Re_h = U_0 h / v = 1,7 \times 10^4$ и $2,9 \times 10^4$ для режимов II и I, соответственно.

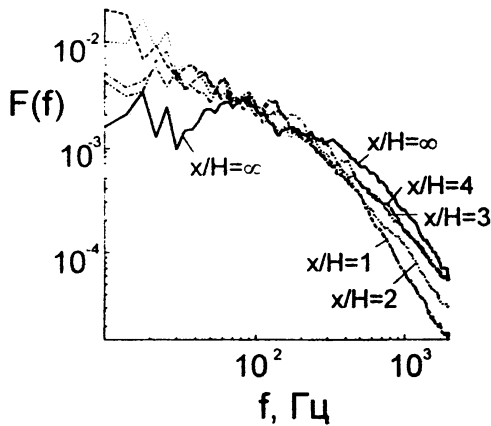
Локальные измерения вектора поверхностного трения проводились в рециркуляционной зоне, зоне присоединения и области присоединившегося сдвигового слоя за обратным уступом с помощью шестиниточного датчика поверхностного трения [3]. Датчик позволяет определять мгновенное значение модуля и направление вектора поверхностного трения. Работа датчика обеспечивалась термоанемометрической аппаратурой DISA 55M. Подробное описание работы датчика, его градуировка и результаты методических испытаний приведены в работе [3]. Изменение продольной координаты измерительной точки осуществлялось путем перемещения обратного уступа относительно рабочего участка.

Сбор и обработка экспериментальной информации проводились при помощи автоматизированной системы, включающей в себя персональный компьютер и восьмиканальный аналогово-цифровой преобразователь с параллельным опросом каналов. В каждой измерительной точке время опроса составляло 2 с при частоте дискретизации 5000 Гц.

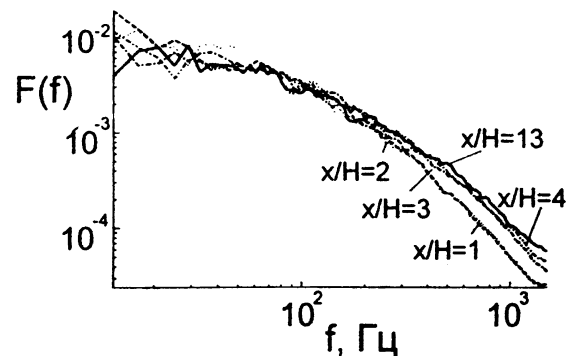
Спектральные характеристики продольной компоненты вектора поверхностного трения рассчитывались по выборкам длиной 16 с (в случае течения за обратным уступом) и 10 с (в случае незагроможденной трубы) при $U_\infty = 17,3 \text{ м/с}$ и 18 с (в случае течения за обратным уступом) и 10 с (в случае незагроможденной трубы) при $U_\infty = 10,1 \text{ м/с}$.

3. РЕЗУЛЬТАТЫ И ОБСУЖДЕНИЕ

Длина рециркуляционной зоны может быть оценена по изменению вероятности обратного течения γ . Координаты средней точки присоединения при $U_\infty = 17,3$ и $10,1 \text{ м/с}$ оказались очень близкими: 4,7 и 5,1 h соответственно.

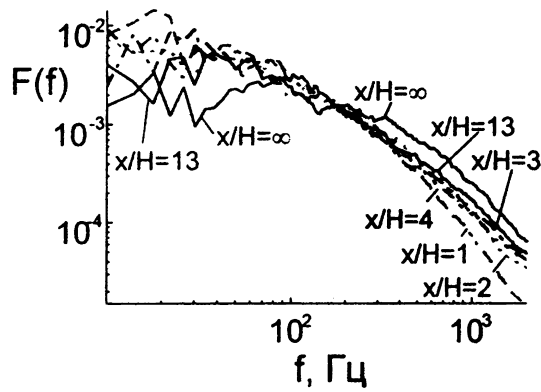


а

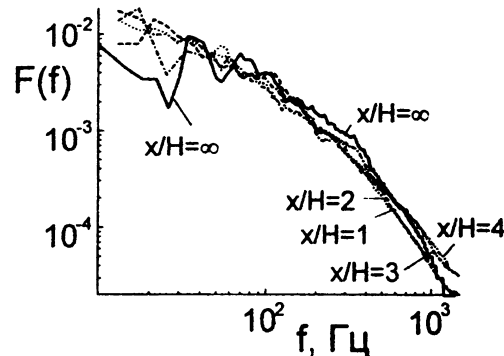


б

Рис.1. Спектральные плотности продольных пульсаций вектора поверхностного трения в рециркуляционной зоне течения за обратным уступом: а - $U_x=17.2$ м/с; б - $U_x=10.1$ м/с



а



б

Рис.2. Спектральные плотности поперечных пульсаций вектора поверхностного трения в рециркуляционной зоне течения за обратным уступом: а - $U_x=17.2$ м/с; б - $U_x=10.1$ м/с

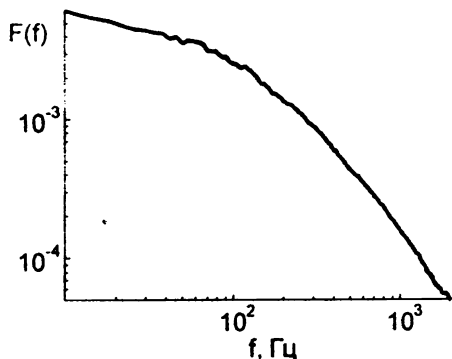
Это вполне объяснимо, так как известно, что длина области рециркуляции не зависит от числа Рейнольдса. Полученные в ходе измерений осредненные по времени оценки коэффициента модуля и продольной компоненты вектора поверхностного трения, среднеквадратичные отклонения модуля вектора поверхностного трения и его компонент для двух режимов по скорости, вполне соответствуют результатам других исследований. Подробное описание указанных характеристик поверхностного трения можно найти, например в [4].

На рис.1 и 2 представлены спектральные плотности продольных и поперечных пульсаций вектора поверхностного трения в рециркуляционной зоне течения за обратным уступом для двух режимов по скорости. Отметим, что во всех точках присоединившегося сдвигового слоя спектры были одинаковы с точностью до ошибки усреднения, вызванной ограниченностью выборки во времени.

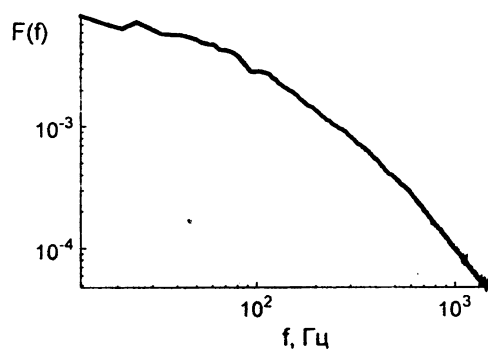
В рециркуляционной зоне можно выделить следующую особенность: роль высокочастотной облас-

ти возрастает с удалением от уступа вниз по течению. Это справедливо для пульсаций как продольной, так и поперечной составляющей вектора поверхностного трения. Подобная тенденция была отмечена в работе [1] по отношению к пульсациям давления на стенке. Возможно, это связано с постепенным приближением к поверхности проходящего сверху сильно турбулизированного оторвавшегося сдвигового слоя.

На рис.3 и 4 представлены усредненные по всем измерительным точкам средние спектры пульсаций продольной и поперечной компонент вектора поверхностного трения для двух режимов по скорости. Анализ графиков (рис.3, б и 4, б) для режима скорости $U_\infty=10.1$ м/с и сопоставление их с аналогичными спектральными характеристиками, измеренными в невозмущенном потоке позволяет выдвинуть предположение, что в данном случае имеет место недостаточно благоприятное соотношение сигнал/шум. Локальных максимумов, соответствующих каким-либо известным характеристикам числом

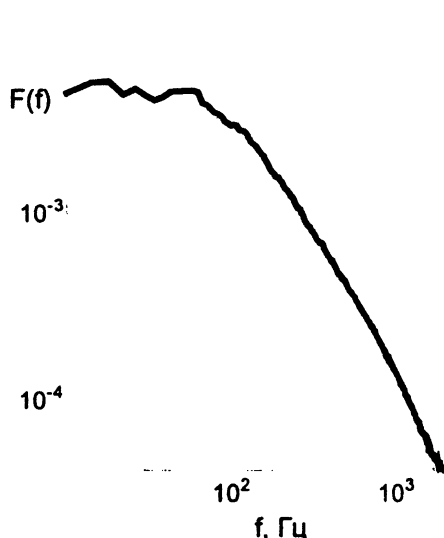


а

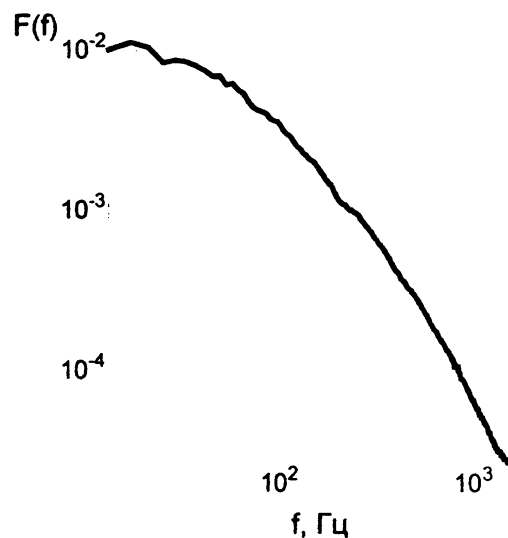


б

Рис.3. Усредненные по всем измерительным точкам спектральные плотности продольных пульсаций вектора поверхности трения в следе за обратным уступом: а - $U_x=17,2$ м/с; б - $U_x=10,1$ м/с



а



б

Рис.4. Усредненные по всем измерительным точкам спектральные плотности поперечных пульсаций вектора поверхности трения в следе за обратным уступом: а - $U_x=17,2$ м/с; б - $U_x=10,1$ м/с

Струхала для данного случая течения обнаружить не удалось. Средний спектр пульсаций продольной компоненты вектора поверхности трения при $U_x=17,3$ м/с (рис.3.а) представляет собой монотонно убывающую функцию (как в обычном турбулентном пограничном слое). На среднем спектре пульсаций поперечной компоненты вектора поверхности трения при $U_x=17,3$ м/с (рис.4. а) присутствуют три локальных максимума, соответствующих частотам 18 Гц ($Sh=0,02$), 26 Гц ($Sh=0,03$) и 58 Гц ($Sh=0,07$). Первый и третий максимумы можно интерпретировать как характерные частоты низкочастотного махового движения слоя смещения и испускания крупных вихрей в оторвавшемся слое смещения, соответственно. (Более подробную информацию о нестационарных процессах в турбулентном течении за обратным уступом можно почерпнуть, например

из работ [5-6]). Локальный максимум, соответствующий частоте 26 Гц, возможно, связан с пульсациями расхода в аэродинамической трубе. Таким образом, если принять во внимание тот факт, что в нашем случае поперечные пульсации трения преобладают над продольными (см. [4]), можно сделать вывод о существенной трехмерности нестационарных процессов, происходящих в течении за двумерным обратным уступом.

ЗАКЛЮЧЕНИЕ

Проведены термоанемометрические измерения спектральных характеристик вектора поверхности трения в турбулентном отрывном течении за обратным уступом. Для рециркуляционной зоны отмечено, что роль высокочастотной области спектра трения возрастает с удалением от уступа вниз по

течению. Возможно, это связано с постепенным приближением к поверхности проходящего сверху сильно турбулизированного оторвавшегося сдвигового слоя. Полученные экспериментальные данные свидетельствуют о существенной трехмерности нестационарных процессов, происходящих в течении за двумерным обратным уступом.

СПИСОК ОБОЗНАЧЕНИЙ

U_* – средняя скорость в ядре потока в невозмущенном трубном течении, м/с;
 U_0 – средняя скорость в ядре потока у кромки уступа, м/с;
 $Sh = fh/U_0$ - число Струхала;
 h - высота обратного уступа, м;
 ν - кинематическая вязкость, m^2/c ;
 f - частота, Гц.

СПИСОК ЛИТЕРАТУРЫ

1. Farabee T.M., Casarella M.J. Measurements of fluctuating wall pressure for separated/reattached boundary layer

- flows // Journal of Vibration, Acoustics, Stress and Reliability in Design. July 1986. Vol. 108. P. 301-307.
2. Козлов А.П. Проявление трехмерности в двумерных отрывных течениях // Докл. РАН. 1994. Т.338. №3. С.337-339.
3. Козлов А.П., Михеев Н.И., Молочников В.М., Сайкин А.К. Термоанемометрические измерения поверхностного трения в отрывных течениях. Казань: АБАК. 1998. 134 с.
4. Занько Ф.С., Козлов А.П., Михеев Н.И. Мгновенный вектор поверхностного трения в турбулентном отрывном течении за обратным уступом / Препринт 98П11. Казань: КГТУ им.А.Н.Туполева. 1998. 14 с.
5. Драйвер Д.М., Сигмиллер Х.Л., Марвин Дж.Г. Нестационарные процессы в присоединяющемся слое смешения // Аэрокосмическая техника. 1988. №3. С.35-42.
6. Занько Ф.С., Михеев Н.И. Присоединившийся сдвиговой слой в условиях колебаний зоны турбулентного отрыва потока за обратным уступом // Известия РАН. Энергетика. 1998. №4. С.97-102.